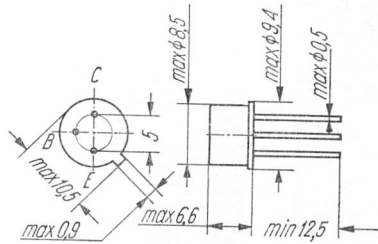


BC160 BC161



Rys. 1-219. BC160, 161

Typ tranzystora: tranzystor krzemowy

Firma: ITT

Wykonanie: tranzystor krzemowy epitaksjalno-planarny *p-n-p* w obudowie metalowej, kolektor połączony z obudową, ciężar około 1 G

Zastosowanie: układy wzmacniające i przełączające, układy przeciwobne, komplementarny do tranzystorów BC140 i BC141

Typy podobne: BC313 (Cemi, Ses), BSV17 (Siem)

Wartości charakterystyczne¹⁾

BC160—6 BC160—10 BC160—16
BC161—6 BC161—10 BC161—16

h_{21E}	46	80	120	przy $-U_{CE} = 1$ V, $-I_C = 0,1$ mA przy $-U_{CE} = 1$ V, $-I_C = 100$ mA przy $-U_{CE} = 1$ V, $-I_C = 1$ A
h_{21E}	63(40—100)	100(63—160)	160 (100—250)	
h_{21E}	15	20	30	

BC160 BC161

$-U_{CEsat}$	0,7(<1,4)	0,7(<1,4)	V	przy $-I_C = 1$ A, $-I_B = 100$ mA
$-U_{BE}$	1,3(<2)	1,3(<2)	V	przy $-U_{CE} = 1$ V, $-I_C = 1$ A
$-I_{CES}$	10(<100)		nA	przy $-U_{CE} = 40$ V
$-I_{CES}$		10(<100)	nA	przy $-U_{CE} = 60$ V
$-I_{CES}$	10(<100)		μ A	przy $-U_{CE} = 40$ V, $t_j = 150^\circ$ C
$-I_{CES}$		10(<100)	μ A	przy $-U_{CE} = 60$ V, $t_j = 150^\circ$ C
$-U_{(BR)CES}$	>40	>60	V	przy $-I_C = 0,1$ mA
$-U_{(BR)CEO}$	>40	>60	V	przy $-I_C = 50$ mA ($t_p = 200$ μ s, $\delta = 1\%$)
f_T	>50	>50	MHz	przy $-U_{CE} = 10$ V, $-I_C = 50$ mA, $f = 20$ MHz
C_{CBO}	<30	<30	pF	przy $-U_{CBO} = 10$ V, $f = 1$ MHz
C_{EBO}	180	180	pF	przy $-U_{EBO} = 0,5$ V, $f = 1$ MHz
R_{thj-a}	<200	<200	$^\circ$ C/W	
R_{thj-c}	<35	<35	$^\circ$ C/W	

Warunek doborzenia parami dla tranzystorów BC160 i BC161 jak również dla BC160/BC140 lub

BC161/BC141: $\frac{h_{21E1}}{h_{21E2}} < 1,25$, $-U_{CE} = 1$ V, $-I_C = 100$ mA.

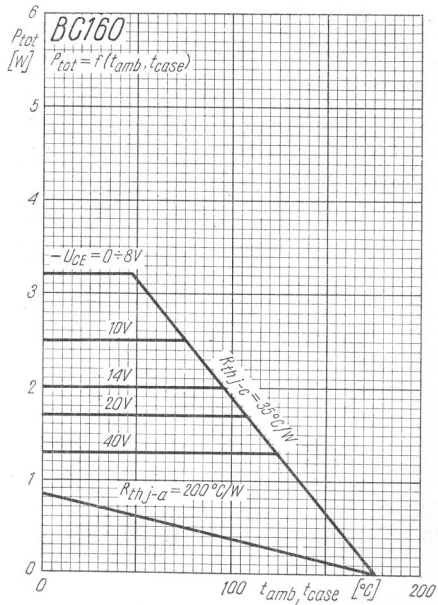
Wartości graniczne

$-U_{CBO}$ max	40	60	V	P_{tot} max	0,75	0,75 ²⁾	W
$-U_{CEO}$ max	40	60	V	P_{tot} max	3,2	3,2 ³⁾	W
$-U_{EBO}$ max	5	5	V	t_j max		175	$^\circ$ C
$-I_C$ max	1	1	A	t_{stg}		-55 ÷ + 175	$^\circ$ C
$-I_B$ max	0,1	0,1	A				

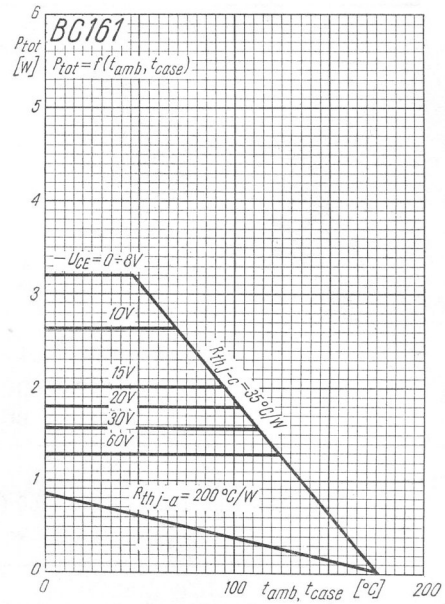
¹⁾ $t_j = 25^\circ$ C

²⁾ $t_{amb} = 25^\circ$ C

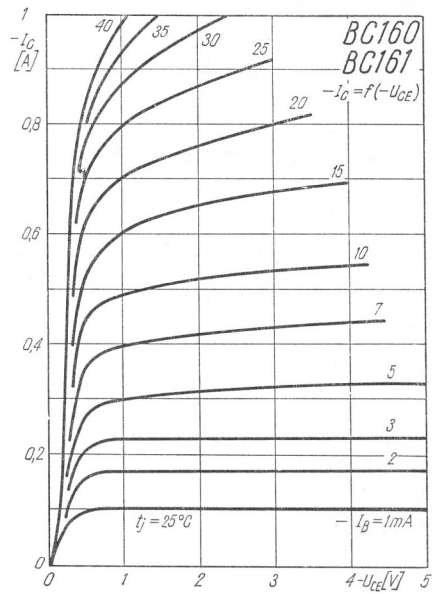
³⁾ $t_{case} = 60^\circ$ C, $-U_{CE} < 8$ V



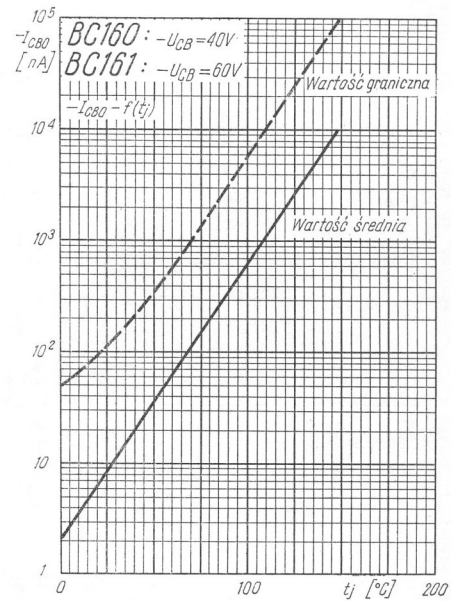
Rys. 1-220. Charakterystyki dopuszczalnej mocy strat w zależności od temperatury



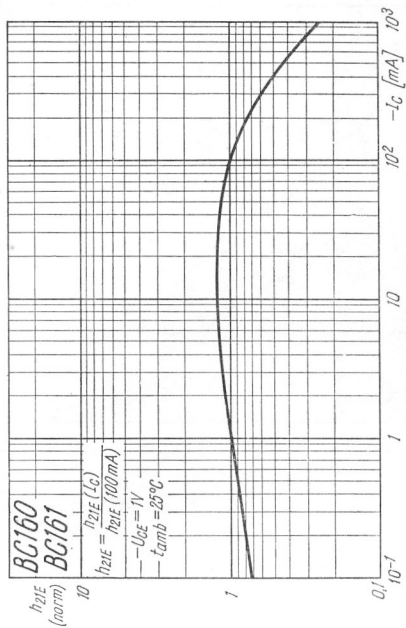
Rys. 1-221. Charakterystyki dopuszczalnej mocy strat w zależności od temperatury



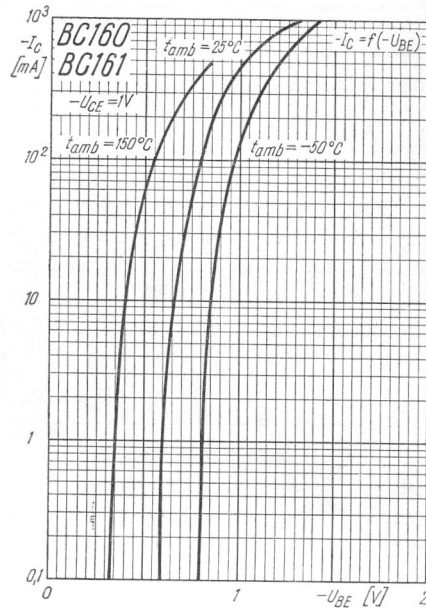
Rys. 1-222. Charakterystyki wyjściowe



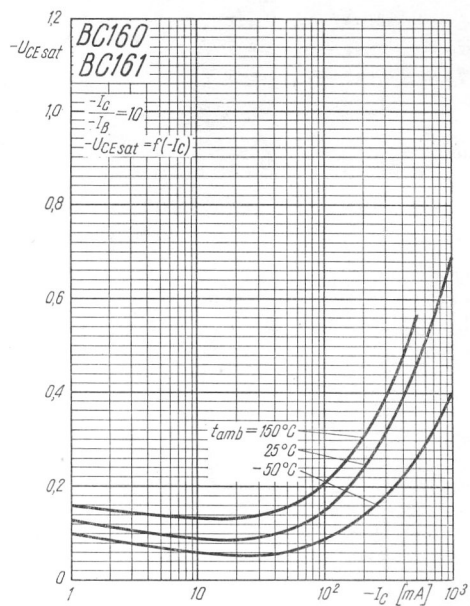
Rys. 1-223. Zależność prądu zerowego kolektora od temperatury złącza



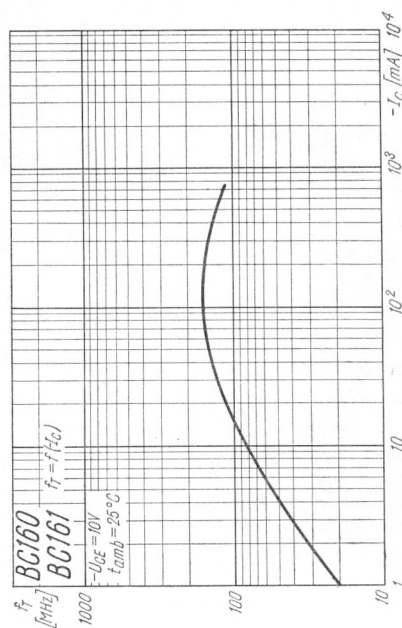
Rys. 1-224. Zależność normowanego współczynnika wzmocnienia prądowego od prądu kolektora



Rys. 1-225. Charakterystyki sterowania napięciowego



Rys. 1-226. Zależność napięcia nasycenia kolektora od prądu kolektora



Rys. 1-227. Zależność częstotliwości granicznej od prądu kolektora